

1. Аминова А. В. О конциркулярных движениях в римановых пространствах.— Гравитация и теория относительности, 1976, вып. 11, с. 127—138.
2. Куканов А. Б., Константинович А. В. Об излучении при гиперболическом движении.— История и методология естеств. наук, 1979, № 21, с. 105—109.
3. Мацюк Р. Я. О существовании лагранжиана для системы обыкновенных дифференциальных уравнений.— Мат. методы и физ.-мех. поля, 1981, вып. 15, с. 35—39.
4. Hill E. L. On the kinematics of uniformly accelerated motions and classical electromagnetic theory.— Phys. Rev., 1947, 72, N 2, p. 143—149.
5. Hill E. L. The definition of moving coordinate systems in relativistic theories.— Phys. Rev., 1951, 84, N 6, p. 1165—1168.
6. Yano K. Concurcular geometry I.— Proc. Impt. Acad. Tokyo, 1940, 16, N 6, p. 195—200

Институт прикладных проблем
механики и математики АН УССР

Поступила в редколлегию
08.09.80.

УДК 629.78

В. Е. Бербюк

К ВОПРОСУ О СТАБИЛИЗАЦИИ КОЛЕБАНИЙ КОРПУСА ДВУНОГОГО ШАГАЮЩЕГО АППАРАТА

Задачам, связанным с передвижением двуногих шагающих аппаратов, посвящен ряд исследований (см., например, работы [1—10, 12]). Особый интерес представляет проблема построения эффективных алгоритмов управления движением подобного рода механических систем. В настоящее время известно ряд подходов к решению проблемы управления. В работах [5, 12] предложены алгоритмы свободной стабилизации, обеспечивающие устойчивое движение двуногого механизма в произвольном режиме из заданного класса. Эффективные методы синтеза оптимальных линейных систем успешно применены в работах [8—10] для решения ряда задач стабилизации движения шагающего аппарата. Метод разделения движений оказался плодотворным при организации жесткого управления движением двуногого механизма [6]. Результаты статьи [13] являются примером использования общей теории Ляпунова для изучения устойчивости антропоморфных систем. В настоящей работе с помощью принципа максимума Понтрягина решена задача оптимальной по быстродействию стабилизации движения корпуса двуногого шагающего аппарата для модели, отличающейся от принятых в работах [5, 7—10, 12], а также изучено влияние отдельных кинематических и динамических параметров на величину времени оптимальной стабилизации.

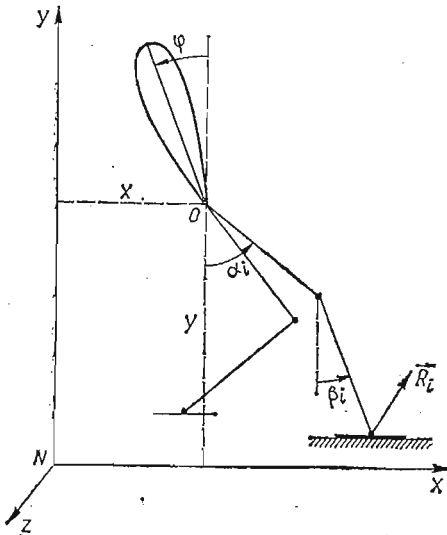


Рис. 1

Рассмотрим плоскую модель шагающего аппарата, состоящего из весомого корпуса и пары трехзвенных одинаковых ног [2] (рис. 1). Два весомых звена моделируют бедро и голень, третье невесомое звено — стопу конечности. Полагаем, что звенья аппарата соединены между собой идеальными шарнирами. Уравнения, описывающие движение механизма в фазе опоры на одну из ног, можно записать в виде [2]

$$f_1(t) - K_r (\ddot{\varphi} \cos \varphi - \dot{\varphi}^2 \sin \varphi) = R_{1x}(t),$$

$$\begin{aligned}
 f_2(t) - K_r (\ddot{\varphi} \sin \varphi + \dot{\varphi}^2 \cos \varphi) &= R_{1y}(t), \\
 J \ddot{\varphi} - g K_r \sin \varphi - K_r (\ddot{x} \cos \varphi + \dot{y} \sin \varphi) &= -q_1 - q_2, \\
 f_3(t) &= q_1 - u_1 + 2a (R_{1x} \cos \alpha_1 + R_{1y} \sin \alpha_1), \\
 f_4(t) &= q_2 - u_2, \quad f_5(t) = u_1 - p_1 + 2b (R_{1x} \cos \beta_1 + R_{1y} \sin \beta_1), \quad f_6(t) = u_2,
 \end{aligned} \tag{1}$$

где $f_1(t) = M \ddot{x} + \sum_{i=1}^2 [K_a (\ddot{\alpha}_i \cos \alpha_i - \dot{\alpha}_i^2 \sin \alpha_i) + K_b (\ddot{\beta}_i \cos \beta_i - \dot{\beta}_i^2 \sin \beta_i)]$;

$$f_2(t) = M (\ddot{y} + g) + \sum_{i=1}^2 [K_a (\ddot{\alpha}_i \sin \alpha_i + \dot{\alpha}_i^2 \cos \alpha_i) + K_b (\ddot{\beta}_i \sin \beta_i + \dot{\beta}_i^2 \cos \beta_i)]; \tag{2}$$

$$\begin{aligned}
 f_3(t) &= I_a \ddot{\alpha}_1 + K_a (\ddot{x} \cos \alpha_1 + \dot{y} \sin \alpha_1) + I_{ab} [\ddot{\beta}_1 \cos (\alpha_1 - \beta_1) + \\
 &\quad + \dot{\beta}_1^2 \sin (\alpha_1 - \beta_1)] + g K_a \sin \alpha_1; \\
 f_4(t) &= I_a \ddot{\alpha}_2 + K_a (\ddot{x} \cos \alpha_2 + \dot{y} \sin \alpha_2) + I_{ab} [\ddot{\beta}_2 \cos (\alpha_2 - \beta_2) + \\
 &\quad + \dot{\beta}_2^2 \sin (\alpha_2 - \beta_2)] + g K_a \sin \alpha_2; \\
 f_5(t) &= J_b \ddot{\beta}_1 + K_b (\ddot{x} \cos \beta_1 + \dot{y} \sin \beta_1) + I_{ab} [\ddot{\alpha}_1 \cos (\alpha_1 - \beta_1) - \\
 &\quad - \dot{\alpha}_1^2 \sin (\alpha_1 - \beta_1)] + g K_b \sin \beta_1; \\
 f_6(t) &= J_b \ddot{\beta}_2 + K_b (\ddot{x} \cos \beta_2 + \dot{y} \sin \beta_2) + I_{ab} [\ddot{\alpha}_2 \cos (\alpha_2 - \beta_2) - \\
 &\quad - \dot{\alpha}_2^2 \sin (\alpha_2 - \beta_2)] + g K_b \sin \beta_2.
 \end{aligned}$$

В уравнениях (1) — (2) обозначено: x, y — декартовы координаты точки подвеса ног; $\varphi, \alpha_i, \beta_i$ ($i = 1, 2$) — угловые координаты звеньев аппарата (см. рис. 1); q_i, u_i, p_i — управляющие воздействия соответственно в бедренных, коленных и стопных шарнирах; $R_{ix}(t), R_{iy}(t)$ — горизонтальная и вертикальная составляющие реакции опоры $R_i(t)$; M_1 — масса корпуса; r — расстояние от точки подвеса ног O до центра масс корпуса; J — момент инерции корпуса относительно оси Z в точке O ; m_a — масса бедра; $2a$ — длина бедра; J_a — момент инерции бедра относительно оси Z в точке O ; m_b — масса голени; $2b$ — длина голени; J_b — момент инерции голени относительно оси Z в точке коленного шарнира; g — ускорение силы тяжести. Кроме того, $M = M_1 + 2(m_a + m_b)$, $K_r = r M_1$, $K_a = a(m_a + 2m_b)$, $K_b = b m_b$, $I_a = 4a^2 m_b + J_a$, $I_{ab} = 2ab m_b$. Везде индекс $i = 1$ будет соответствовать величинам опорной ноги, $i = 2$ — величинам переносимой ноги. Ходьба такого механизма представляет собой чередование одноопорных фаз с мгновенной сменой опоры с одной ноги на другую. Это передвижение промежуточное между собственно ходьбой (чередованием одноопорных и двуопорных фаз) и бегом [4].

Ранее [2] был построен энергетически оптимальный программный уровень системы управления движением двуногого шагающего аппарата. Однако в силу наличия разного рода возмущений реальное движение механизма может отличаться от программного. Возникает задача стабилизации, состоящая в том, чтобы тем или иным способом обеспечить минимизацию рассогласования между реальным и программным движениями. В настоящей работе решается задача стабилизации колебаний корпуса аппарата в предположении, что движение конечностей известно и не возмущается со временем.

При одноопорном движении механизма помимо уравнений (1) имеют место кинематические связи

$$x(t) = x_0 - 2(b \sin \beta_1 + a \sin \alpha_1), \quad y(t) = y_0 + 2(b \cos \beta_1 + a \cos \alpha_1), \tag{3}$$

где x_0, y_0 — декартовы координаты стопного шарнира опорной ноги. Посредством ряда элементарных преобразований системы (1) с учетом выражений

(3) для колебаний корпуса аппарата получаем дифференциальное уравнение

$$J\ddot{\varphi} - gK_r \sin \varphi - K_r (\ddot{x} \cos \varphi + \ddot{y} \sin \varphi) + K_r (y - y_0) (\ddot{\varphi} \cos \varphi - \dot{\varphi}^2 \sin \varphi) - \\ - K_r (x - x_0) (\ddot{\varphi} \sin \varphi + \dot{\varphi}^2 \cos \varphi) = -p_1 - \sum_{j=3}^6 f_j(t) + (y - y_0) f_1(t) - \\ - (x - x_0) f_2(t). \quad (4)$$

Выбирая некоторое допустимое управление в стопе $p_1 = p_1(t)$ и решая краевую задачу для уравнения (4), находим T -периодическое колебание корпуса аппарата (T — длительность одиночного шага). Далее, реакции опоры $R_{1x}(t)$, $R_{1y}(t)$ определяем из первых двух уравнений системы (1). Управляющие воздействия в оставшихся шарнирах последовательно вычисляем в силу уравнений (1) — (2) по формулам

$$u_1(t) = p_1(t) - 2b(R_{1x} \cos \beta_1 + R_{1y} \sin \beta_1) + f_6(t), \\ q_1(t) = u_1(t) - 2a(R_{1x} \cos \alpha_1 + R_{1y} \sin \alpha_1) + f_3(t), \quad (5) \\ u_2(t) = f_6(t), \quad q_2(t) = u_2(t) + f_4(t).$$

Таким образом, в рамках рассматриваемых постановок задача управления движением двуногого аппарата сводится, по существу, к задаче управления движением корпуса механизма посредством надлежащего выбора управления в стопном шарнире. Решив задачу стабилизации движения корпуса, остальную часть динамики аппарата можно вычислить с помощью формул (1).

Предположим, что колебания корпуса малы, а кинематика опорной ноги такова, что движение точки подвеса ног происходит на постоянной высоте h от поверхности шагания, т. е. $y(t) - y_0 = h = \text{const}$. Тогда из уравнения (4) получаем линейное дифференциальное уравнение второго порядка, описывающее малые колебания корпуса шагающего механизма:

$$\ddot{\varphi} - k^2 \varphi = -p_1/(J + hK_r) + f(t), \quad (6)$$

где

$$k^2 = gK_r/(J + hK_r);$$

$$f(t) = [hf_1 - (x - x_0)f_2 - f_3 - f_4 - f_5 - f_6 + K_r \ddot{x}]/(J + hK_r).$$

Пусть $\varphi_b(t)$ — возмущенное движение корпуса, $\theta(t) = \varphi_b(t) - \varphi(t)$ — отклонение возмущенного движения корпуса от программного $\varphi(t)$. Пусть, далее, $p_1^b(t)$ — момент, развиваемый в стопном шарнире опорной ноги при возмущенном движении $\varphi_b(t)$. Тогда в силу уравнения (6) $\theta(t)$ удовлетворяет такому:

$$\ddot{\theta} - k^2 \theta = u, \quad (7)$$

где

$$u(t) = (p_1 - p_1^b)/(J + hK_r). \quad (8)$$

Из физических соображений ясно, что необходимо выполнение условий

$$|u(t)| \leq u_0, \quad 0 < u_0 < \infty, \quad u_0 = \text{const}. \quad (9)$$

Сформулируем задачу оптимальной по быстродействию стабилизации движения корпуса двуногого аппарата. Пусть при $t = t_0$ возмущение программного движения корпуса характеризуется величинами $(\theta_0, \dot{\theta}_0)$. Найти такое управление $u(t)$, удовлетворяющее условиям (9), чтобы за наименьшее время выйти на программное движение $\varphi = \varphi(t)$. Другими словами, необходимо найти такое управление $u(t)$, чтобы перевести фазовую точку, движение которой подчинено уравнению (7), из состояния $(\theta_0, \dot{\theta}_0)$ в положение равновесия $(0, 0)$. При этом время перехода должно быть минимальным. Решив эту задачу, найдем $u(t)$, а значит, согласно уравнениям (1), (5) и (8) можно рассчитать добавки к программным управлениям $p_1(t)$, $u_1(t)$,

$q_1(t), u_2(t), q_2(t)$, необходимые для оптимальной по быстродействию стабилизации движения корпуса шагающего механизма.

Пусть $x_1 = \theta, x_2 = \dot{\theta}$. В силу уравнения (7) имеем нормальную систему

$$x_1 = x_2, \quad x_2 = k^2 x_1 + u. \quad (10)$$

Функция Гамильтона в данном случае имеет вид

$$H(x_1, x_2, \psi_1, \psi_2, u) = \psi_1 x_2 + \psi_2 k^2 x_1 + \psi_2 u. \quad (11)$$

Далее, для вспомогательных переменных ψ_1, ψ_2 получаем систему

$$\dot{\psi}_1 = -k^2 \psi_2, \quad \dot{\psi}_2 = -\psi_1,$$

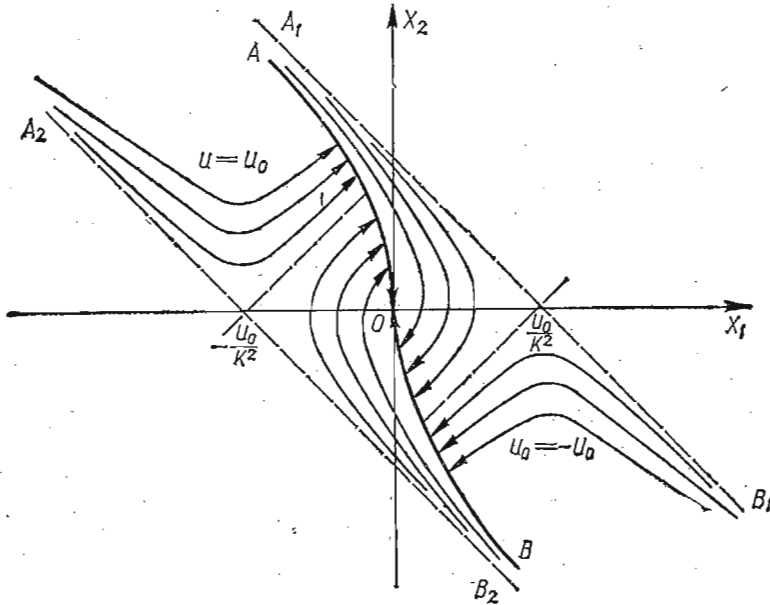


Рис. 2

откуда получаем $\psi_2(t) = c_1 \exp(kt) + c_2 \exp(-kt)$, где c_1, c_2 — постоянные. Принцип максимума [11] с учетом выражений (9), (11) дает $u(t) = u_0 \operatorname{sgn} \psi_2(t)$. В силу того что при любых c_1, c_2 , неравных одновременно нулю, функция $\psi_2(t)$ на любом отрезке времени не более одного раза меняет знак, каждое оптимальное управление $u(t)$ является кусочно-постоянной функцией, принимающей значение $\pm u_0$ и имеющей не более двух интервалов постоянства.

Для отрезка времени, на котором $u(t) = u_0$, в силу системы (10) имеем

$$x_1(t) = c_3 e^{kt} + c_4 e^{-kt} - \frac{u_0}{k^2}, \quad x_2(t) = k(c_3 e^{kt} - c_4 e^{-kt}), \quad (12)$$

где c_3, c_4 — произвольные постоянные, откуда получаем

$$(k^2 x_1 + u_0)^2 - k^2 x_2^2 = 4k^4 c_3 c_4. \quad (13)$$

Следовательно, фазовые траектории изображающей точки при $u(t) = u_0$ и $c_3 c_4 \neq 0$ представляют собой гиперболы, асимптотами которых являются прямые $x_2 = k(x_1 + u_0/k^2)$ и $x_2 = -k(x_1 + u_0/k^2)$. Аналогично для отрезка времени, на котором $u(t) = -u_0$, находим

$$x_1(t) = c_5 e^{kt} + c_6 e^{-kt} + u_0/k^2, \quad x_2(t) = k(c_5 e^{kt} - c_6 e^{-kt}), \quad (14)$$

$$(k^2 x_1 - u_0)^2 - k^2 x_2^2 = 4k^4 c_5 c_6. \quad (15)$$

Здесь c_5, c_6 — произвольные постоянные.

Из анализа поведения фазовых траекторий (13), (15) следует, что в рассматриваемом случае областью возможной стабилизации движения корпуса

двуногого аппарата является полоса Ω , заключенная между линиями A_1B_1 ($x_2 = -k(x_1 - u_0/k^2)$) и A_2B_2 ($x_2 = -k(x_1 + u_0/k^2)$) (рис. 2). Линия переключения AOB состоит из дуги AO гиперболы $(k^2x_1 - u_0)^2 - x_2^2k^2 = u_0$ и из дуги BO гиперболы

$$(k^2x_1 + u_0)^2 - k^2x_2^2 = u_0^2. \quad (16)$$

Отметим, что точки асимптот в область стабилизации Ω не входят.

Если при $t = t_0$ возмущение программного движения корпуса определяется точкой $(x_1^0, x_2^0) \in \Omega$, расположенной выше линии AOB , то для оптимальной стабилизации необходимо, чтобы $u(t) = -u_0$ до тех пор, пока изображающая точка не попадет на дугу BO . Далее, $u(t) = u_0$, что и завершает стабилизацию. Если же точка $(x_1^0, x_2^0) \in \Omega$ расположена ниже линии AOB , то для оптимальной стабилизации программного движения корпуса аппарата следует положить $u(t) = u_0$ и поддерживать таковым до выхода изображающей точки на дугу AO . Затем необходимо переключить управление, приняв $u(t) = -u_0$.

Согласно принципу максимума [11], только описанные выше траектории (см. рис. 2) могут быть оптимальными, причем из проведенного исследования видно, что из каждой точки полосы Ω исходит только одна траектория, ведущая в начало координат. В силу теоремы существования для линейных систем оптимального быстрогодействия [11] найденные траектории действительно являются оптимальными и других оптимальных траекторий, ведущих в начало координат, не существует.

Пусть при $t = t_0$ возмущение программного движения корпуса аппарата определяется точкой $(x_1^0, x_2^0) \in \Omega$, расположенной выше линии AOB . Для оптимальной стабилизации полагаем $u(t) = -u_0$. Используя уравнения (15), (16), находим координаты точки пересечения фазовой траектории системы (16), исходящей из точки (x_1^0, x_2^0) с линией переключения AOB :

$$x_1^b = [2u_0x_1^0 + (x_2^0)^2 - k^2(x_1^0)^2]/4u_0, \quad x_2^b = -\sqrt{x_1^b(k^2x_1^b + 2u_0)}. \quad (17)$$

По известным точкам (x_1^b, x_2^b) согласно уравнению (14) определяем момент времени выхода изображающей точки на AOB :

$$t_b = t_0 + \frac{1}{k} \ln \left(\frac{k^2x_1^b + kx_2^b - u_0}{k^2x_1^0 + kx_2^0 - u_0} \right). \quad (18)$$

И, наконец, зная (x_1^b, x_2^b) , t_b , с учетом соотношения (12) находим момент времени завершения стабилизации движения корпуса механизма:

$$t_1 = t_b + \frac{1}{k} \ln \left(\frac{u_0}{k^2x_1^b + kx_2^b + u_0} \right). \quad (19)$$

Исходя из уравнений (1), (5), (8) можно вычислить добавки к программным значениям реакций опоры и управляющих воздействий в шарнирах ног, необходимые для оптимальной стабилизации движения корпуса механизма. На отрезке времени $t_0 \leq t \leq t_b$ имеем:

$$p_1^b(t) - p_1(t) = u_0(J + hK_r), \\ R_{1x}^b(t) - R_{1x}(t) = -K_r k^2(c_5 e^{kt} + c_6 e^{-kt}), \quad R_{1y}^b(t) - R_{1y}(t) = 0, \quad (20)$$

$$u_1^b(t) - u_1(t) = (p_1^b - p_1) - 2b \cos \beta_1 (R_{1x}^b - R_{1x}),$$

$$q_1^b(t) - q_1(t) = (p_1^b - p_1) - h(R_{1x}^b - R_{1x}), \quad u_2^b(t) - u_2(t) = 0, \quad q_2^b(t) - q_2(t) = 0,$$

где

$$c_5 = (k^2x_1^0 + kx_2^0 - u_0)/2k^2 \exp(kt_0); \quad c_6 = (k^2x_1^0 - kx_2^0 - u_0)/2k^2 \exp(-kt_0).$$

При $t_b < t \leq t_1$ необходимо выполнение условий $p_1^b(t) - p_1(t) = -u_0(J + hK_r)$, $R_{1x}^b(t) - R_{1x}(t) = -k^2K_r(c_3 e^{kt} + c_4 e^{-kt})$, где $c_3 = (k^2x_1^b + kx_2^b + u_0)/2k^2 \exp(kt_b)$; $c_4 = (k^2x_1^b - kx_2^b + u_0)/2k^2 \exp(-kt_b)$.

Приращения моментов $u_1(t)$, $q_1(t)$, $u_2(t)$, $q_2(t)$ при $t_b < t \leq t_1$ вычисляются согласно соотношениям (20).

Замечание 1. Если при $t = t_0$ возмущение программного движения корпуса аппарата определяется точкой $(x_1^0, x_2^0) \in \Omega$, расположенной ниже линии AOB , то в уравнениях (17) — (18) необходимо везде заменить u_0 на $-u_0$, а перед квадратным корнем в уравнении (17) поменять знак на противоположный.

Исследуем влияние отдельных параметров на величину времени оптимальной стабилизации $t_1 - t_0$. Отметим, что t_1 не зависит от массоинерционных характеристик ног, а в силу уравнений (17) — (19) является функцией только $x_1^0, x_2^0, u_0, M_1, r, J, h$. Пусть при $t_0 = 0$ возмущение программного движения

корпуса определяется точкой $x_1 = 0,01$ рад, $x_2 = 0,2$ рад/с. На рис. 3, 4 изображены кривые, характеризующие влияние отдельных параметров на время оптимальной стабилизации данного возмущенного движения.

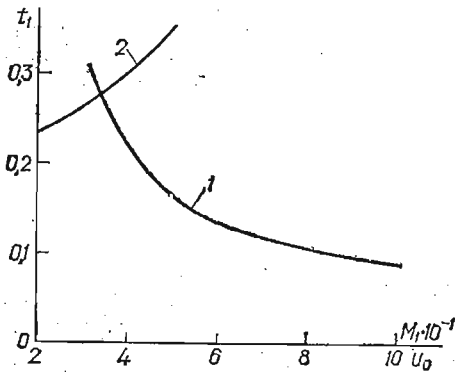


Рис. 3

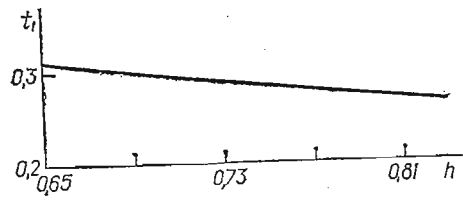


Рис. 4

На рис. 3 кривая $t_1 = t_1(u_0)$ (1) построена при $M_1 = 40$, $r = 0,5$, $J = 10$, $h = 0,65$, а кривая $t_1 = t_1(M_1)$ (2) при тех же значениях r, J, h и $u_0 = 3$. На рис. 4 кривая $t_1 = t_1(h)$ получена при тех же значениях r, J, u_0 и $M_1 = 40$. Как показали численные расчеты, с увеличением момента инерции корпуса J при фиксированных остальных параметрах время оптимальной стабилизации t_1 убывает практически по линейному закону. Характер влияния на значение t_1 величины параметра r аналогичен влиянию массы корпуса аппарата M_1 .

Замечание 2. Если точка подвеса ног шагающего аппарата совпадает с центром масс корпуса, т. е. $r = 0$, задача оптимальной стабилизации движения корпуса механизма решается аналогичным методом без предположений малости колебаний корпуса и неизменности высоты точки подвеса ног относительно поверхности шагания. При этом областью оптимальной стабилизации является вся фазовая плоскость (x_1, x_2) .

Проведенные исследования показывают, что введение дополнительного управляющего воздействия в стопе двуногого шагающего аппарата позволяет решать задачу оптимальной стабилизации углового движения корпуса в отличие от работ [5, 12] за счет управления только в шарнирах опорной ноги.

1. Белецкий В. В. Динамика двуногой ходьбы. — Изв. АН СССР. Сер. Механика твердого тела, 1975, № 3, с. 3—14; № 4, с. 3—13.
2. Белецкий В. В., Бербюк В. Е. Нелинейная модель двуногого шагающего аппарата снабженного управляемыми стопами. М., 1978. — 68 с. — (Препринт / Ин-т прикл. математики АН СССР, № 54).
3. Бербюк В. Е. Плоская модель двуногого стопоходящего аппарата. — В кн.: Некоторые вопросы механики роботов и биомеханики М.: Изд-во Моск. ун-та, 1978, с. 52—62.
4. Белецкий В. В., Кирсанова Т. С. Плоские линейные модели двуногой ходьбы. — Изв. АН СССР. Сер. Механика твердого тела, 1976, № 4, с. 51—62.
5. Белецкий В. В., Чудинов П. С. Линейная задача стабилизации двуногой ходьбы. — Изв. АН СССР. Сер. Механика твердого тела, 1977, № 6, с. 32—40.
6. Болотин Ю. В., Новожиллов И. В. Управление походкой двуногого шагающего аппарата. — Изв. АН СССР. Сер. Механика твердого тела, 1977, № 3, с. 47—52.

7. Вукобратович М. Шагающие роботы и антропоморфные механизмы.— М. : Мир, 1976.— 540. с.
8. Карпинский Ф. Г. Модель двуногого шагающего аппарата (описание и управление движением.— Киев, 1978.— 56 с. (Препринт/ Ин-т математики АН УССР, № 23).
9. Ларин В. Б. Стабилизация двуногого шагающего аппарата.— Изв. АН СССР. Сер. Механика твердого тела, 1976, № 5, с. 4—13.
10. Ларин В. Б. О непрерывном и импульсном управлении горизонтальным движением двуногого шагающего аппарата.— Изв. АН СССР. Сер. Механика твердого тела, 1977, № 6, с. 54—64.
11. Понтрягин Л. С., Болтянский В. Г., Гамкрелидзе Р. В., Мищенко Е. Ф. Математическая теория оптимальных процессов.— 3-е изд.— М. : Наука, 1976.— 392 с.
12. Чудинов П. С. Одна задача стабилизации двуногой ходьбы. М., 1977.— 42 с.— (Препринт / Ин-т прикл. математики АН СССР, № 93).
13. Chow C. K., Jacobson D. H. Further studies of human locomotion: postural stability and control.— Math. Biosci., 1972, 15, p. 93—108.

Институт прикладных проблем
механики и математики АН УССР

Поступила в редколлегию
25.10.79

УДК 517.944 : 536.13

О. В. Побережный

ТЕПЛОВЫЕ ПОТЕНЦИАЛЫ ДЛЯ ПОЛОСЫ И СЛОЯ

В настоящее время достаточно хорошо разработаны теории ньютоновских [7, 8], тепловых [2, 6], аналогов логарифмических [5] потенциалов простого и двойного слоев. Как известно, все эти потенциалы определены в бесконечных областях. В данной работе получены потенциалы для областей типа полосы и слоя, исследованы их свойства и приведены предельные значения потенциалов и их нормальных производных.

Пусть в двумерной области G ($0 \leq z \leq h$, $|x| < \infty$) задана гладкая кривая L , не выходящая на границы $z=0$ и $z=h$ области G . Считаем L линией Ляпунова [7]. Рассмотрим в области G функции

$$\Phi_v = (x, z, t) = \frac{1}{4\pi} \int_0^t \int_L \frac{\varphi(\sigma, \tau)}{t-\tau} R_v(r_{mk}, t-\tau) d\sigma d\tau, \quad (1)$$

$$\Psi_v(x, z, t) = \frac{1}{8\pi c} \int_0^t \int_L \frac{\psi(\sigma, \tau)}{(t-\tau)^2} R_v^1(r_{mk}, t-\tau) d\sigma d\tau, \quad (2)$$

где σ — элемент дуги кривой L ; $m = 1, 2$; $-\infty < k < \infty$;

$$R_v(r_{mk}, t-\tau) = \sum_{k=-\infty}^{\infty} E_1(v, k) [R(r_{1k}, t-\tau) + E_2(v) R(r_{2k}, t-\tau)];$$

$$R_v^1(r_{mk}, t-\tau) = \sum_{k=-\infty}^{\infty} E_1(v, k) [R(r_{1k}, t-\tau) r_{1k} \cos(\widehat{r_{1k}}, n) + E_2(v) R(r_{2k}, t-\tau) r_{2k} \cos(\widehat{r_{2k}}, n)];$$

$$E_1(v, k) = (-1)^{(v-1)(v-2)} \frac{v}{6} k; \quad E_2(v) = (-1)^{(v-2)(v-3)} \frac{v}{2};$$

$$r_{1k}^2 = (x - \xi)^2 + (z - \zeta + 2kh)^2; \quad r_{2k}^2 = (x - \xi)^2 + (z + \zeta - 2kh)^2;$$

$$R(r_{mk}, t-\tau) = \exp \left[-\frac{r_{mk}^2}{4c(t-\tau)} - \kappa^2 c (t-\tau) \right];$$

$M(x, z)$ — произвольная точка области G ; $N(\xi, \zeta) \in L$; n — внутренняя нормаль к контуру L ; n' — зеркальное отображение нормали относительно оси $z=0$ или $z=h$.